

⑤ Etude des caractéristiques d'une filtre.

⑥ comportement intégrateur. Comme le filtre est d'ordre 2 on sait que c'est forcément un passe-bande et que $\omega_a \gg \omega_0$ du passe-bande.

Forme canonique: $H(j\omega) = \frac{H_0}{1 + jQ\left(\frac{\omega}{\omega_0} - \frac{\omega_0}{\omega}\right)}$.

$$\omega_a = \frac{2\pi}{T_a} \quad \text{on mesure } T_a \text{ sur l'oscillogramme}$$

$$T_a = 40 \mu s \rightarrow f_a = 25 \text{ kHz.}$$

$$\omega_a = 50\pi \cdot 10^3 \text{ rad.s}^{-1}$$

⑦ La sortie est sinusoïdale } \Rightarrow la pulsation ω_b est très
et de même période que } voisine de ω_0 et
le créneau } ω_b est le fondamen-
tal du signal.

$$\Rightarrow \omega_0 = \omega_b = \frac{2\pi}{T_b} \quad \text{avec } T_b = 0,4 \text{ ms} \quad f_b = 2,5 \text{ kHz.}$$

$$\Rightarrow \boxed{\omega_0 = 5\pi \cdot 10^3 \text{ rad.s}^{-1}}$$

Le signal est très bien filtré car seul le fondamental est transmis - on a donc un grand facteur de qualité.

Enfin, les 2 signaux sont en opposition de phase:
on en déduit $H_0 < 0$.

$$e(t) = \frac{A_0}{2} + \sum_{n=0}^{\infty} \frac{2A_0}{\pi} \frac{1}{2n+1} \sin\left((2n+1)\frac{2\pi t}{T}\right)$$

$$s(t) \approx \frac{2A_0}{\pi} H_0 \sin(\omega_0 t)$$

$$\omega_0 = \frac{2\pi}{T}$$

on ne conserve

car on suppose ($Q \gg 1$) que $|H| \approx 0$ pour ω hors-bande

exo 2 : Facteur de puissance d'un moteur.

⑩

$$\text{e} \uparrow \text{---} \quad \left. \begin{array}{l} \text{---} \text{R} \\ \text{---} \text{L} \end{array} \right\} Z = R + jLw = |Z| (\cos \phi + j \sin \phi)$$

$$\underline{e} = \sqrt{2} V_c \cos 2\pi ft$$

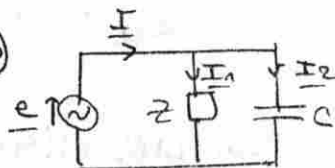
P_a puissance active, celle absorbée par effet Joule par le moteur.

$$P_a = I_c V_c \cos \phi \quad \Rightarrow \quad \cos \phi = \frac{P_a}{I_c V_c} = 0,781 \quad (\phi = 38^\circ)$$

P_r puissance réactive : $P_r = V_c I_c \sin \phi$ échangée entre les parties réactives (inductives et capacitives) du circuit

$$P_r = 4,4 \text{ kW}$$

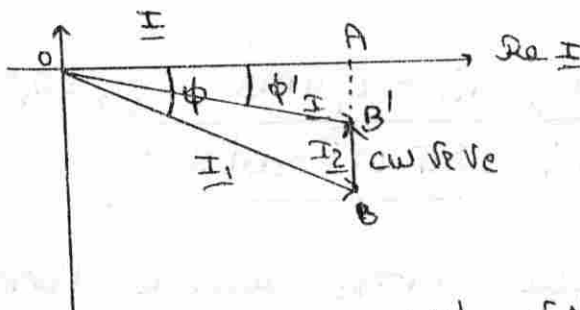
⑪



$$I = I_1 + I_2$$

$$\left\{ \begin{array}{l} I_1 = \frac{\sqrt{2} V_c}{|Z|} (\cos \phi - j \sin \phi) \\ I_2 = j \omega C V_c \end{array} \right.$$

Diagramme de Fresnel en intensité :



$$\tan \phi = \frac{AB}{OA}$$

$$\tan \phi' = \frac{AB'}{OA}$$

$$\Rightarrow \tan \phi - \tan \phi' = \frac{BB'}{OA} = \frac{\omega C V_c}{\operatorname{Re}(I_1)} = \frac{\omega C |Z|}{\cos \phi}$$

$$P_a = V_c I_c \cos \phi$$

$$I_c = \frac{\sqrt{2}}{|Z|}$$

$$\Rightarrow \tan \phi - \tan \phi' = \frac{\omega C V_c^2}{P_a}$$

D'où $C = \frac{P_a}{\omega V_c^2} (\tan \phi - \tan \phi') \quad C = 135 \mu F$

$$\langle P \rangle = V_c I_m \cos \phi = P_a = \frac{1}{2} |Z| I_m^2 \cos \phi = R I_m^2$$

$$p = u i = V_m I_m \cos \omega t \cos(\omega t - \phi) = V_m I_m \cos(\omega t - \phi) \cos(\omega t - \phi + \phi)$$

$$= \underbrace{\frac{1}{2} V_m I_m \cos \phi (1 + \cos(2\omega t - \phi))}_{P_a} - \underbrace{\frac{1}{2} V_m I_m \sin \phi \sin 2(\omega t - \phi)}_{P_r}$$

$$Z = R + jS \quad P_a = \frac{1}{2} R I_m^2 \quad P_r = \frac{1}{2} S I_m^2 \quad \text{et} \quad P = P_a + jP_r \quad (P = \frac{1}{2} V \underline{I}^*)$$

(2)

En mesurant l'amplitude du crâne, on a $A_0 = 1 \text{ div} = 0,5 \text{ V}$.

en mesurant l'amplitude du signal de sortie, on a :

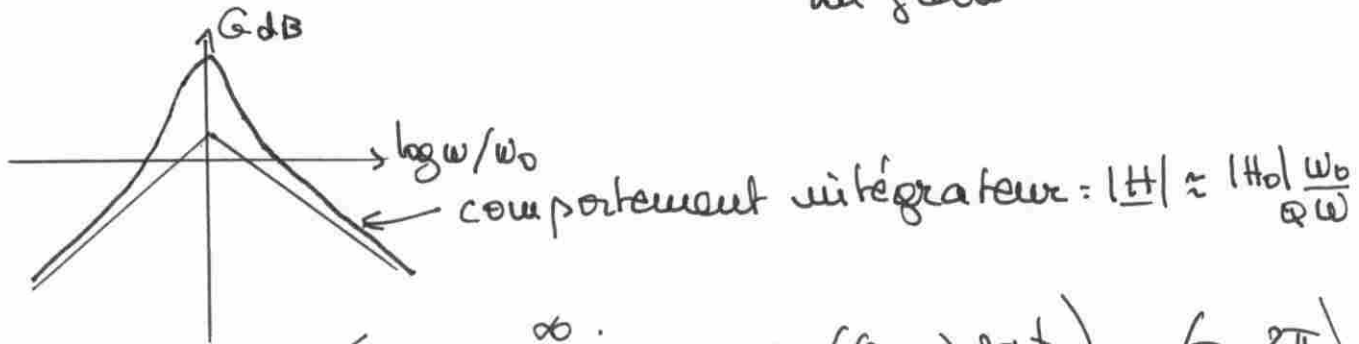
$$4 \frac{A_0}{\pi} H_0 = 3 \text{ div} = 30 \text{ V}$$

d'où $H_0 \approx 47$

Explication du graphique :

Le filtre passe-bande coupe la composante continue et intègre tous les harmoniques.

on a donc $\omega_a = \frac{2\pi}{T_a} \gg \text{fréquence de coupure haute du filtre}$



$$e(t) = \frac{A_0}{2} + \frac{2A_0}{\pi} \sum_{n=0}^{\infty} \frac{1}{2n+1} \sin\left((2n+1)\frac{2\pi t}{T_a}\right) \cdot \left(T_a = \frac{2\pi}{\omega_a}\right).$$

$$s(t) = \frac{|H_0|/2A_0}{\pi} \frac{\omega_0}{\omega_a} \sum_{n=0}^{\infty} \frac{1}{(2n+1)^2} \cos\left((2n+1)\frac{2\pi t}{T_a}\right) \cdot (H_0 < 0).$$

signal triangle.

on peut, pour faire plus simple, considérer que l'amplitude du signal triangle est essentiellement due à son fondamental ($\omega = \omega_a$ i.e. $n=0$)

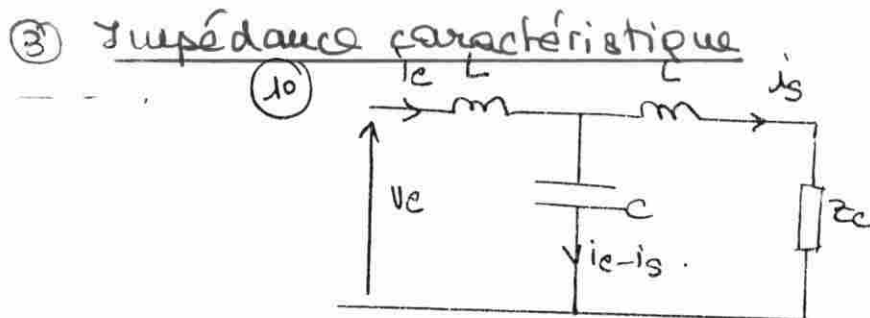
→ amplitude $A_0 = 1 \text{ V}$. (crâne d'entrée).

→ amplitude de sortie = $3 \text{ div} = 0,3 \text{ V} \approx \frac{2A_0}{\pi} \frac{|H_0|}{Q} \frac{\omega_0}{\omega_a} \times 2$

$$\Rightarrow \text{avec } \frac{\omega_0}{\omega_a} = \frac{1}{10} \quad \frac{|H_0|}{\pi} = 60$$

cela donne $[Q = 20]$

→ filtre très sélectif.



$$Z_C = \frac{V_e}{i_e}$$

$$V_e = jL\omega i_e + \frac{i_e - i_s}{jC\omega}$$

$$V_e = jL\omega i_e + jL\omega i_s + Z_C i_s \Rightarrow i_s = \frac{V_e - jL\omega i_e}{Z_C + jL\omega}$$

$$\Rightarrow V_e = \left(jL\omega + \frac{1}{jC\omega} \right) i_e - \frac{1}{jC\omega} \frac{V_e - jL\omega i_e}{Z_C + jL\omega}$$

$$\Rightarrow V_e \left[1 + \frac{1}{jC\omega} \frac{1}{Z_C + jL\omega} \right] = i_e \left[jL\omega + \frac{1}{jC\omega} + \frac{L}{C} \frac{1}{Z_C + jL\omega} \right]$$

$$\Rightarrow Z_C = \frac{Z_C (1 - LC\omega^2) + jL\omega (2 - LC\omega^2)}{1 - LC\omega^2 + jC\omega Z_C}$$

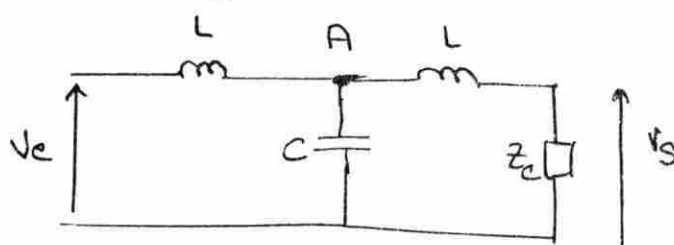
(20) $Z_C = \bar{Z}_C \Leftrightarrow \bar{Z}_C (1 - LC\omega^2) + jC\omega \bar{Z}_C^2 = \bar{Z}_C (1 - LC\omega^2) + jL\omega (2 - LC\omega^2)$

$$\Rightarrow \bar{Z}_C^2 = \frac{L}{C} (2 - LC\omega^2)$$

- Si $\omega < \omega_1 = \frac{\sqrt{2}}{\sqrt{LC}}$: $\bar{Z}_C^2 > 0$ et $\bar{Z}_C = R_C = \sqrt{\frac{L}{C} (2 - LC\omega^2)}$ résistive.

- Si $\omega > \omega_1$: $\bar{Z}_C^2 < 0$ et $\bar{Z}_C = \pm j\sqrt{\frac{L}{C} (LC\omega^2 - 2)}$ réactive

(30) On a le schéma :



en A la loi des nœuds en terme de potentiel (LNTP) donne :

$$V_A = \frac{V_e / jL\omega + V_S / jL\omega}{\frac{2}{jL\omega} + jC\omega} \\ = \frac{V_e + V_S}{2 - LC\omega^2}$$

Diviseur de tension : $V_S = V_A \frac{Z_C}{Z_C + jL\omega}$

$$\Rightarrow (Z_C + jL\omega) V_S = \frac{Z_C}{2 - LC\omega^2} (V_e + V_S)$$

D'où

$$\boxed{H = \frac{V_s}{V_o} = \frac{\underline{Z_C}}{\underline{Z_C}(1-L\omega^2) + jL\omega(2-L\omega^2)}}.$$

40) $\omega > \omega_1$: $\underline{Z_C} = \underline{Z_L}$ et $\underline{Z_C^2} = \frac{L}{C} (2-L\omega^2)$.

$$\underline{Z_C} = j\sqrt{\frac{L}{C}} \sqrt{L\omega^2 - 2}$$

$\Rightarrow H = \frac{-1}{L\omega^2 - 1 + \omega \sqrt{LC} \sqrt{L\omega^2 - 2}}$

H est réelle \rightarrow aucun déphasage
(ou $\varphi = \pi = \text{cte}$).

\hookrightarrow filtre sans déphasage.

$\omega < \omega_1$: $\underline{Z_C} = \sqrt{\frac{L}{C}} \sqrt{2-L\omega^2}$

$$\boxed{H = \frac{1}{1-L\omega^2 + j\omega \sqrt{LC} \sqrt{2-L\omega^2}}}$$

filtre passe-bas.

(5)

$$v_t - v_{\odot} = \pm i e \quad \text{or} \quad v_{\odot} = v_{\oplus} = \frac{k}{1+k} v_g = \frac{i e}{1+k} v_g .$$

$$\Rightarrow v_e \left(1 - \frac{k}{1+k} \right) = \pm i e \quad \text{d'où} \quad \underline{z}_e = \frac{\pm}{1 - \frac{k}{1+k}}.$$

$$z = R \left(1 - j \frac{\omega_0}{\omega} \right)$$

$$\Rightarrow \underline{z}_e = R \cdot \frac{1 - j \frac{\omega_0}{\omega}}{1 + k - \frac{Q}{1 + j Q \left(\frac{\omega}{\omega_0} - \frac{\omega_0}{\omega} \right)}}$$

Si $\omega \approx \omega_0$: le dénominateur de \underline{z}_e vaut $1 + kQ \gg 1$
le numérateur n'est pas nul

$\Rightarrow \underline{z}_e$ est très petit devant R au voisinage de la résonance pour $Q \gg 1$.

$$\underline{z}_{eo} = R \cdot \frac{1 - j}{1 + Qk} \quad Q = \frac{1}{2 - k} \Rightarrow k = 2 - \frac{1}{Q}$$

$$\Rightarrow \underline{z}_{eo} = R \cdot \frac{1 - j}{2Q} \quad \text{d'où} \quad \boxed{\underline{z}_{eo} = |\underline{z}_{eo}| = \frac{R}{\sqrt{2}Q} \gg R.}$$

$$\textcircled{3} \quad \text{AN:} \quad f_0 = \frac{1}{2\pi RC} = 481 \text{ Hz}$$

$$Q = \frac{1}{2-k} \approx 20. \quad T_0 = \frac{1+k}{k-2} = -59$$

$$\underline{z}_{eo} = \frac{R}{\sqrt{2}Q} = 95,4 \text{ } \Omega .$$

\textcircled{4} on a le même calcul qu'au \textcircled{3} en remplaçant $R + j/CW$ par $R + RG + \frac{1}{jCW}$ dans z .

$$\begin{aligned} \frac{1}{I_G} &= \frac{1}{1+k} \left[k - \frac{z}{R} - z j CW \right] = \frac{1}{1+k} \left[k - \frac{R+RG}{R} - \frac{1}{jRCW} - j(R+RG)CW \right] \\ &= \frac{1}{1+k} \left[\left(k - 2 - \frac{RG}{R} \right) + \frac{j}{RCW} - j(R+RG)CW \right] \end{aligned}$$

$$\Rightarrow I_G = \frac{\frac{1}{1+k}}{1 + \frac{j}{-\frac{R}{k} + 2 + \frac{RG}{R}}} \left[(R+RG)CW - \frac{1}{RCW} \right] = \frac{T_0}{1 + j QG \left[\frac{\omega}{\omega_{eo}} - \frac{\omega_{eo}}{\omega} \right]}$$

$$T_G = \frac{T_{OG}}{1+j \frac{R_G}{Q_G} \left(\frac{\omega}{\omega_0} + \frac{\omega_0}{\omega} \right)}$$

$$-T_{OG} = \frac{1+R}{2+R_G - R}$$

$|T_{OG}| < |T_0|$

$$Q_G = \frac{\sqrt{1+R_G}}{2+R_G - R}$$

$$\omega_{OG} = \frac{1}{\sqrt{1+R_G}} \frac{1}{RC} = \frac{\omega_0}{\sqrt{1+R_G}} < \omega_0$$

$$R_G = 50 \Omega \Rightarrow R_G = 18,5 \cdot 10^{-3}$$

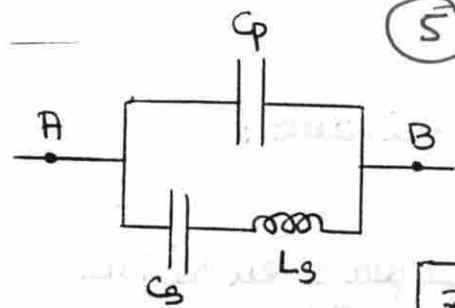
$$Q_G = 14,7$$

$$T_{OG} = -43$$

$f_{OG} = 486 \text{ Hz}$ fréquence peu modifiée mais
le générateur fait chuter le facteur de qualité du filtre.
(c'est parce que R_G n'est pas négligeable devant $2\pi f_0$) .

5) quartz sans pertes

a)



$$\frac{1}{Z} = jC_p \omega + \frac{1}{jL_s \omega + \frac{1}{jC_s \omega}} = j\omega \left[C_p + \frac{C_s}{1 - L_s C_s \omega^2} \right]$$

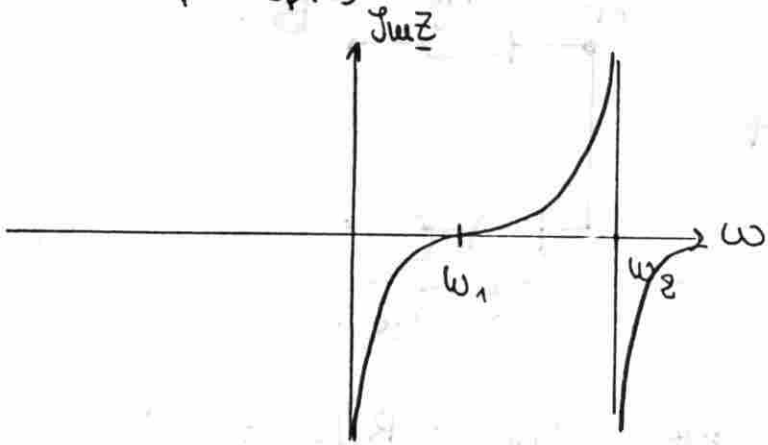
$$Z = \frac{1}{j\omega \left[C_p + \frac{C_s}{1 - L_s C_s \omega^2} \right]}$$

b)

$$\Im Z = |Z| = \frac{1}{\omega \left[C_p + \frac{C_s}{1 - L_s C_s \omega^2} \right]}$$

$$\omega = \omega_1 = \frac{1}{\sqrt{L_s C_s}} : Z = 0 \text{ (résonance)}$$

$$\omega \rightarrow \omega_2 = \frac{1}{\sqrt{L_s \frac{C_s C_p}{C_p + C_s}}} : Z \rightarrow \infty \text{ (antirésonance)} \quad (\omega_2 > \omega_1, \text{ de même ordre de grandeur})$$



c) Si $Z \rightarrow \infty$ = on peut avoir $I=0$ (dipôle non connecté) et U aux bornes $\neq 0$. Alors la pulsation est ω_2 = pulsation d'oscillation du quartz.

Rép: en pratique, Z a aussi une partie réelle (qui modélise les pertes) - Pour faire osciller le quartz, il faut compenser les pertes par une résistance négative.

⑥ Filtre retard $H = \frac{-1}{1-x^2+j\sqrt{2}x}$ $x = \frac{\omega}{\omega_0}$ $\omega_0 = 10^4 \text{ rad.s}^{-1}$

⑦ $\varphi = \text{Arg } H = \pi - \text{Arg}(1-x^2+j\sqrt{2}x)$

Pour $\omega \ll \omega_0$: $x \ll 1$ $1-x^2+j\sqrt{2}x \approx 1+j\sqrt{2}x$.

$$\text{Arg}(1+j\sqrt{2}x) = \text{Arctan } \sqrt{2}x \approx \sqrt{2}x$$

$$\Rightarrow \varphi \approx \pi - K\omega \text{ avec } K = \frac{\sqrt{2}}{\omega_0}$$

⑧ Signal paix: $E(t) = E_0 + \sum_{n=1}^{\infty} C_n \cos n\omega_0 t$

$C_0 = \frac{E_0}{2}$ valeur moyenne du signal.

$$C_n = \frac{2}{T} \int_{-\pi/2}^{\pi/2} E(t) \cos n\omega_0 t dt = \frac{2}{T} \int_{-\pi/4}^{\pi/4} E_0 \cos n\omega_0 t dt = \frac{2E_0}{n\pi} (-1)^{2p+1}$$

si $n = 2p+1$
= 0 sinon.

$$\Rightarrow E(t) = \frac{E_0}{2} + \frac{2E_0}{\pi} \sum_{p=0}^{\infty} \frac{(-1)^{2p+1}}{2p+1} \cos ((2p+1)\omega_0 t)$$

Signal de sortie: $H(x) = |H(x)| = (1+x^4)^{-1/2}$

$$S(t) = -H(0)E_0 + \frac{2E_0}{\pi} \sum_{p=0}^{\infty} \frac{(-1)^{2p+1}}{2p+1} H((2p+1)\omega_0 t) \cos [(2p+1)\omega_0 t + \varphi_p]$$

en ne gardant que les 6 premiers harmoniques non nuls:

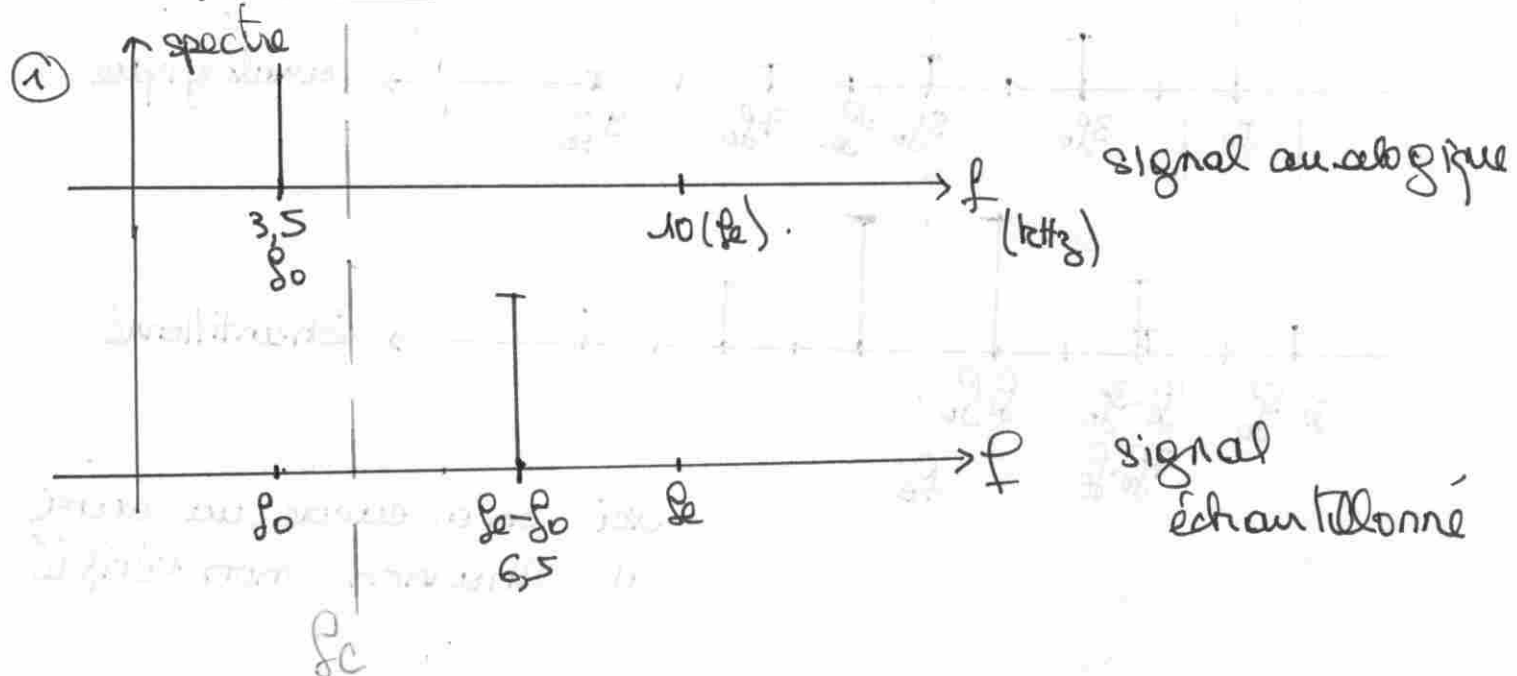
$$S(t) \approx -\frac{E_0}{2} + \frac{2E_0}{\pi} \sum_{p=0}^4 \frac{(-1)^{2p+1}}{2p+1} \cos [(2p+1)\omega_0 t - K(2p+1)\omega_0 t]$$

où, comme $\omega_0 \ll \omega$: $H((2p+1)\omega_0 t) \approx H(0) = 1$ pour les premières valeurs de p .

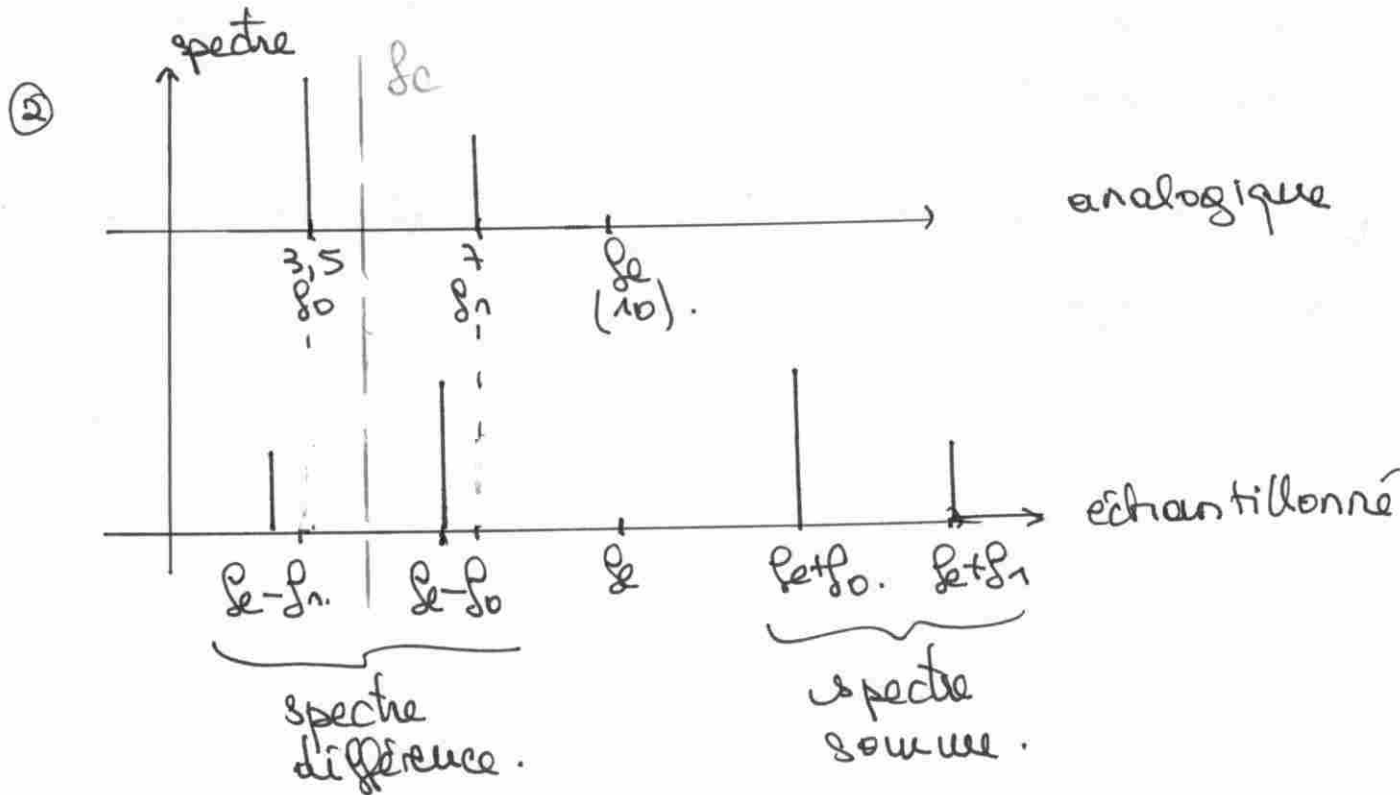
$$\Rightarrow S(t) \approx -\left[\frac{E_0}{2} + \frac{2E_0}{\pi} \sum_{p=0}^4 \frac{(-1)^{2p+1}}{2p+1} \cos ((2p+1)\omega_0 t - K) \right]$$

Si on accepte de représenter les signaux par leurs 6 premières harmoniques, on a: $S(t) \approx E(t-K)$.

Le montage réalise donc un retard de $K = 1,4 \cdot 10^{-4} \text{ s}$.



→ Ici le critère de Shannon est tout juste vérifié.
→ Bien en sortie du passe-bas de $f_c = 3,8 \text{ kHz}$.



repérément
du spectre

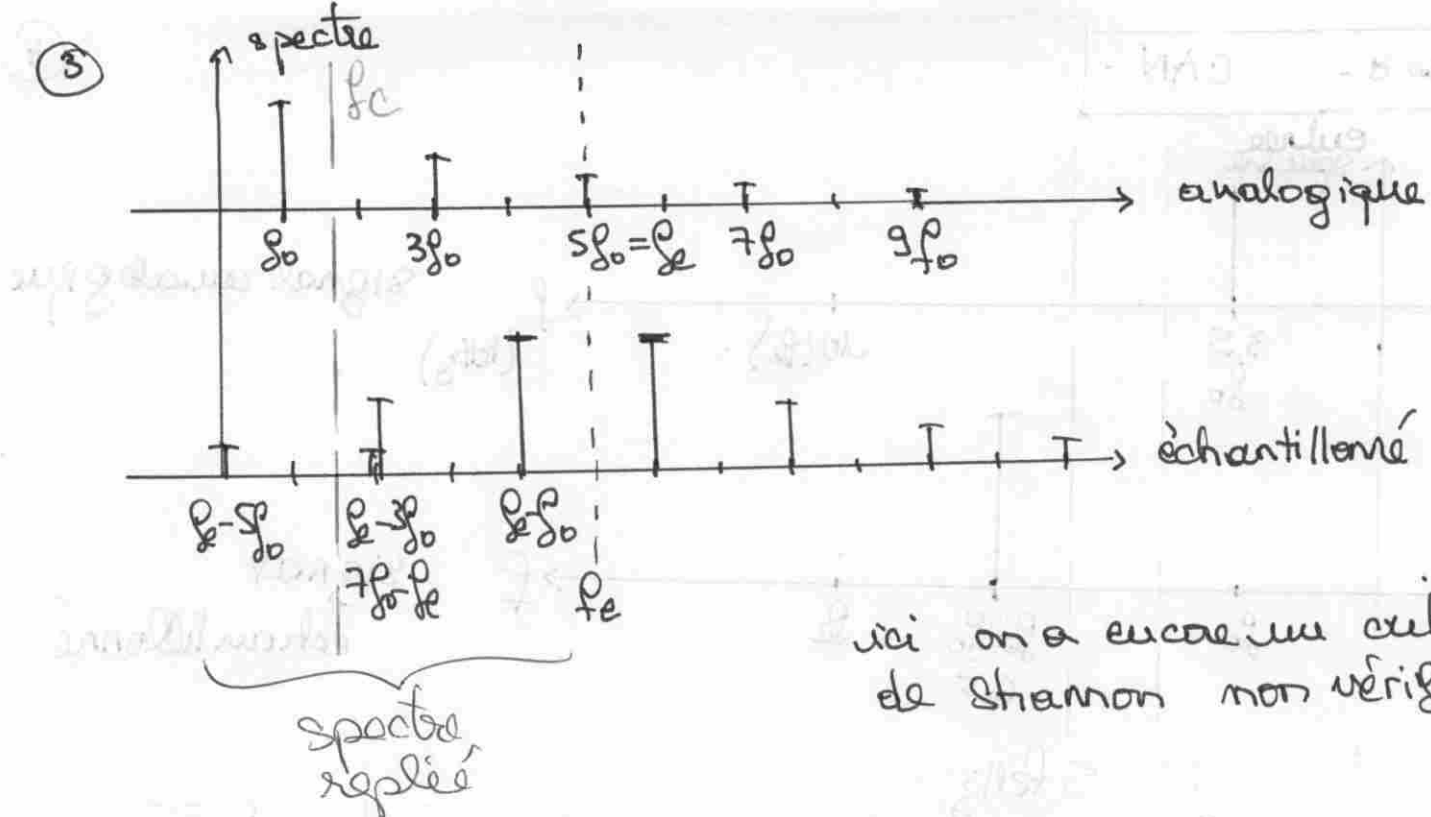
ici le critère de Shannon
n'est pas respecté

on n'a pas $f_c > 2f_{\max}$

réalité $\rightarrow 14 \text{ kHz}$

→ on ne récupère pas la même bande que si c'était le signal analogique !

(3)



→ si on met le signal analogique à l'entrée du passe-bas à f_c , on récupère le fondamental du crâneau à f_0 .

→ si on injecte le signal échantillonné, on récupère l'harmonique 5 !

Exo 9 - CAN Electrocardiogramme

(5)

① Période du signal: $5 \text{ div} = 1\text{s} \Rightarrow f = 1 \text{ Hz} = f_c$

c'est la fréquence fondamentale.

↳ correspond à 1 battement par seconde
à rythme de 60 bpm → normal!

② Si le spectre va étendu jusqu'à 100 Hz, il faut échantillonner à au moins 200 Hz.

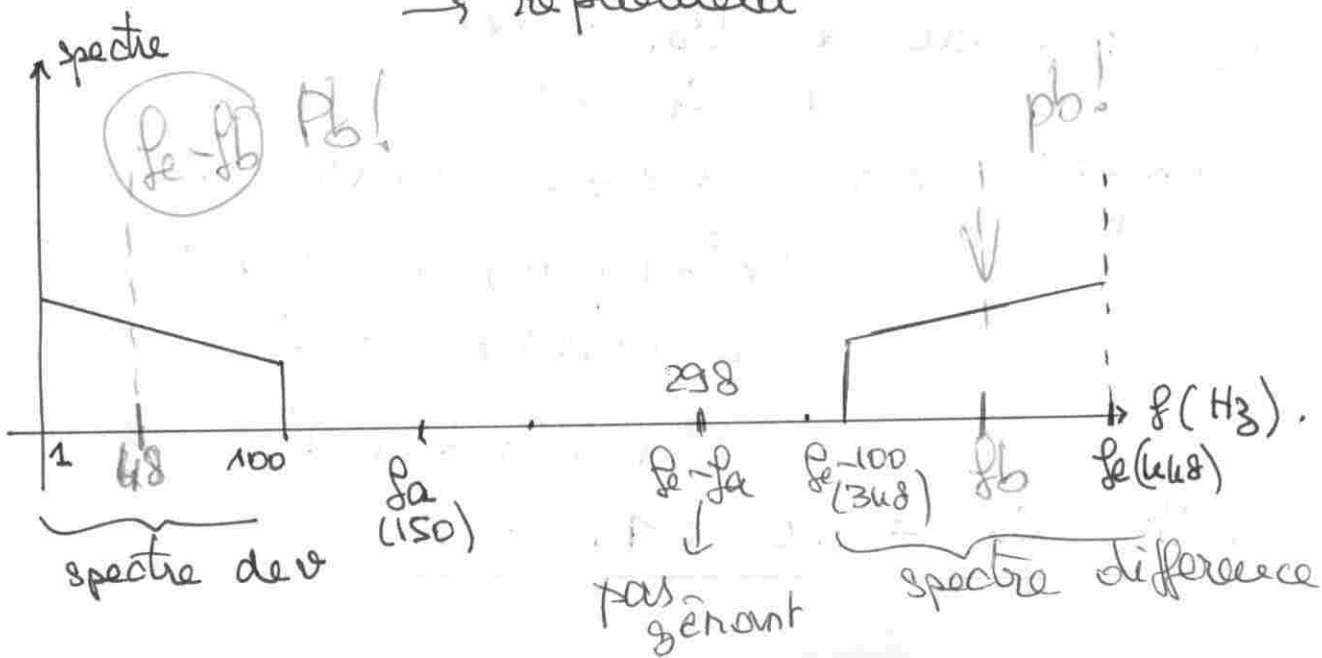
③ $f_e = 618 \text{ Hz}$.

La fréquence parasite à 150 Hz sera pas générant.
échantillonnage car elle vérifie le critère de Shannon.
Par contre d'autre non = elle va gêner → repliement

④ Tous le spectre deffrence, à l'échantillonnage, on va retrouver = $\begin{cases} f_e - f_a & \text{à } 298 \text{ Hz. (a)} \\ f_e - f_b & \text{à } 48 \text{ Hz. (b).} \end{cases}$

(a) ce signal ne se mélangera pas au spectre de $v(t)$.

(b) ce signal se mélangera au spectre de $v(t)$
→ repliement



⑤ on veut éliminer le signal à $f_b = 400 \text{ Hz}$.

$$\text{il faut donc } -20 \log\left(\frac{f_b}{f_c}\right) \leq -20 \log(100)$$

$$\text{avec } f_c = f_{\text{max}} \rightarrow n > 3,3$$

$$\text{on prendra } n = 4$$

$$\text{avec } f_c = 2f_{\text{max}} \text{ il faudra } n = 7$$

Exercice. ① Par le diviseur de tension:

$$U_{PT} = \frac{R_1 + R_2 + R_3}{R_3 + R_2} U_0 \quad (R_2 = \frac{R_2}{2} \text{ ici car rhéostat en position médiane})$$

$$P_{\text{max}} = 10 \text{ bar} \Rightarrow U_{PT} = 20 \text{ V}$$

$$\text{pour } U_0 = 10 \text{ V}$$

$$\Rightarrow R_1 = R_3 = 1 \text{ k}\Omega$$

② $0 \rightarrow 10 \text{ V}$

$0 \rightarrow 255$ niveaux

\rightarrow

$$q = \frac{10}{255} = 39,2 \text{ mV}$$

$$U_{PT} = \frac{U_0}{2} = \frac{39,2 \cdot 10^{-3}}{2} = f_k P_{\text{min}}$$

$$\Rightarrow P_{\text{min}} = 9,8 \text{ mbar}$$

③ $P = 6 \text{ bar} \Rightarrow U_{PT} = 12 \text{ V}$

$$\Rightarrow U_0 = 6 \text{ V}$$

$$6 \times \frac{255}{10} = 153 = 152 + 1 = 8 \times 19 + 1$$

$$= 2^3 \times (18+1) + 1 = 2^4 \times 9 + 2^3 + 2^0$$

$$= 2^4 (8+1) + 2^3 + 2^0$$

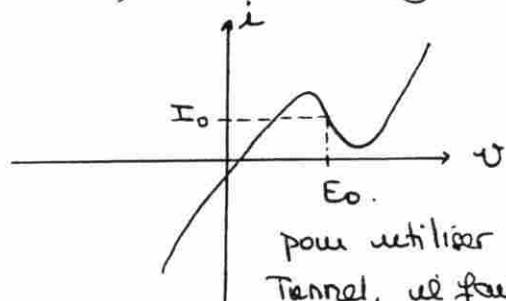
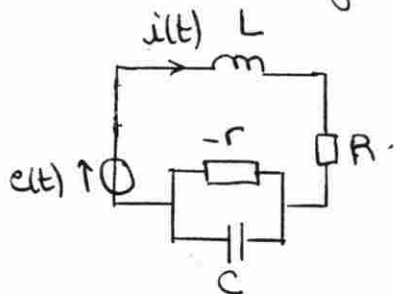
$$= 2^8 + 2^4 + 2^3 + 2^0$$

soit $U_0 = 100011001$

Exo 10

Stabilité d'un montage à diode tunnel

Avec le montage équivalent à la diode, on a, en régime variable



Pour utiliser l'effet Tunnel, il faut polariser la diode.

$$\underline{e(t)} = (jL\omega + R + \underline{Z}) \underline{i(t)} \quad \left. \begin{array}{l} \\ \text{avec } \underline{Z} = \frac{r}{jrc\omega - 1} \end{array} \right\} \Rightarrow [jrc\omega - 1] \underline{e(t)} = [R + jL\omega] (jrc\omega - 1) + r \underline{i(t)}$$

ce qui donne en régime quelconque :

$$\boxed{LC \frac{d^2i}{dt^2} + \left(\frac{L}{r} + RC\right) \frac{di}{dt} + \left(-\frac{R}{r} + 1\right) i(t) = -\frac{1}{r} e(t) + C \frac{de}{dt}}$$

Le montage est stable si les solutions de l'équation sans 2^e membre sont de la forme $A e^{-t/\tau_0} \cos(\sqrt{\lambda}t + \varphi)$

donc si $\left\{ \begin{array}{l} RC - \frac{L}{r} > 0 \\ \text{et} \\ 1 - \frac{R}{r} > 0 \end{array} \right.$ soit $\left\{ \begin{array}{l} R < r \\ L < rRC \end{array} \right.$

Exo 11 - Défaut de linéarité d'un amplificateur

$$v_{\text{S}(t)} = A v_{\text{e}(t)} + B v_{\text{e}}^2(t).$$

① Si $v_{\text{e}}(t)$ est harmonique : $v_{\text{e}}(t) = V_0 \cos \omega t$

en sortie : $v_{\text{S}(t)} = AV_0 \cos \omega t + \frac{BV_0^2}{2} + \frac{BV_0^2}{2} \cos 2\omega t$

↑
rajout
composante
continue

↑
rajout
d'une
harmonique

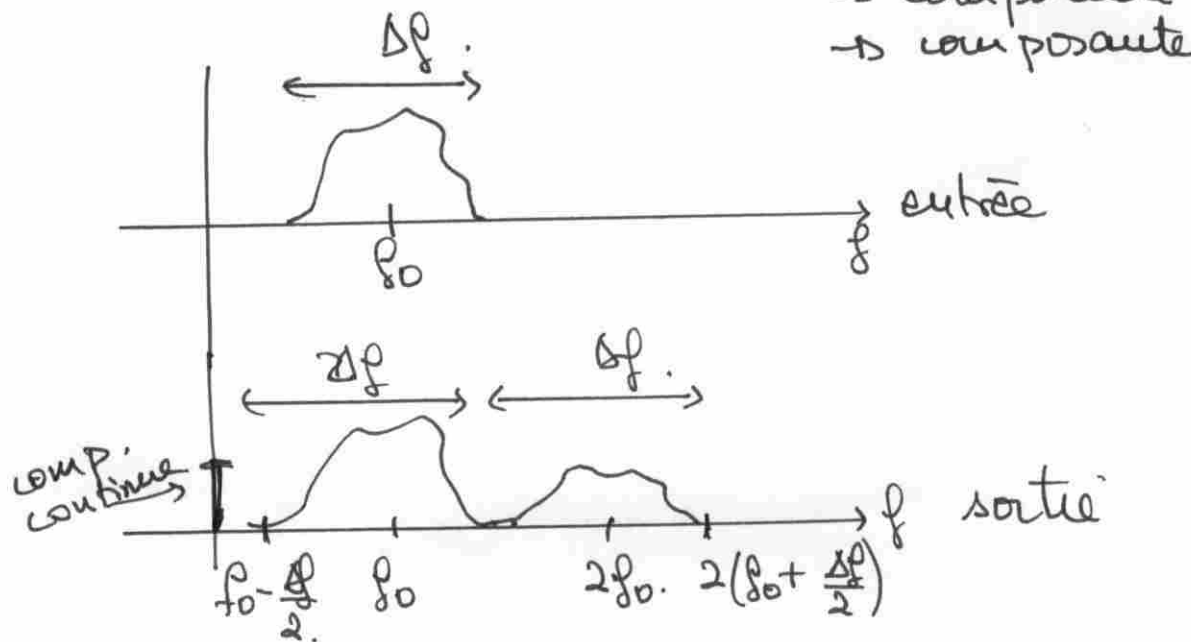
$$\Omega_h = \frac{1}{A} \left(\sum_{n=2}^{\infty} C_n^2 \right)^{1/2} = \boxed{\frac{BV_0}{2A}}$$

② signal d'entrée : $[0; \Delta f]$.

signal de sortie : \rightarrow composante linéaire

\rightarrow composante double

\rightarrow composante continue



Range de fréquences = 0 à $2f_0 + \Delta f$